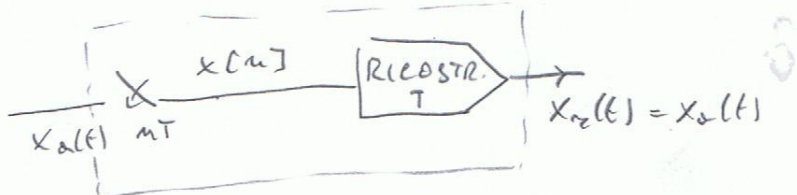


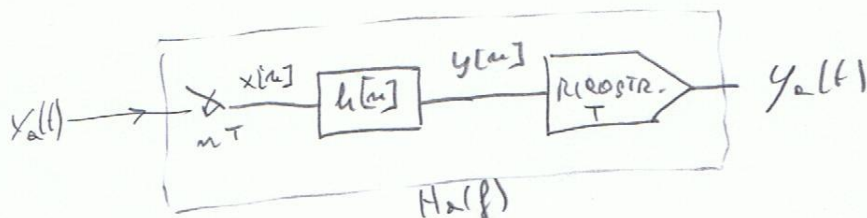
# PROGETTO DI FILTRI FIR CON IL METODO FIR<sup>1</sup> DELLA PINESTRA (o DELLA SERIE DI FOURIER TRONCATA)

Lo schema tipico di campionamento e ricostruzione  
è riportato in figura



$x_r(t) = x_0(t)$  se le condizioni di alias-free e di ricostruzione  
sono soddisfatte.

Lo noteremo evolvendo di questo discorso i la  
interpolazione all'interno del sistema tempo-discreto  
di uno specie di filtro tempo-inversante.



Il blocco interno processa le sequenze  $x[n]$  mediante  
la convoluzione discreta

$$y[n] = \sum_{k=-\infty}^{+\infty} h[k] x[n-k]$$

Assumendo per ottenere  $y[n]$  sia disponibile  
tutto la sequenza  $x[n]$  (numerando con  $k$  da  $-\infty$  a  $+\infty$ )  
Tali vicende verrà rimesso in seguito.

Vogliamo studiare le caratteristiche del sistema  
lineare tempo-invarianto equivalente  $H(f)$ .

Ricordiamo che  $Y(v) = H(v)X(v)$ , dove

FIR 2

$$X(v) = \frac{1}{T} \sum_{n=-\infty}^{+\infty} X_n \left( \frac{v-n}{T} \right). \quad \text{Pertanto}$$

$$Y(v) = \frac{1}{T} \sum_{n=-\infty}^{+\infty} H(v) X_n \left( \frac{v-n}{T} \right)$$

$$\begin{aligned} Y_n(f) &= I(f) \cdot Y(fT) = I(f) \cdot \frac{1}{T} \sum_{n=-\infty}^{+\infty} H(fT) X_n \left( \frac{fT-n}{T} \right) \\ &= \frac{1}{T} \sum_{n=-\infty}^{+\infty} H(fT) X_n \left( f - \frac{n}{T} \right) I(f) \end{aligned}$$

Pertanto si voleva le condizioni del teorema del campionamento per  $X_n(t)$  e  $I(f)$  è l'interpolatorie cardinaliale ideale

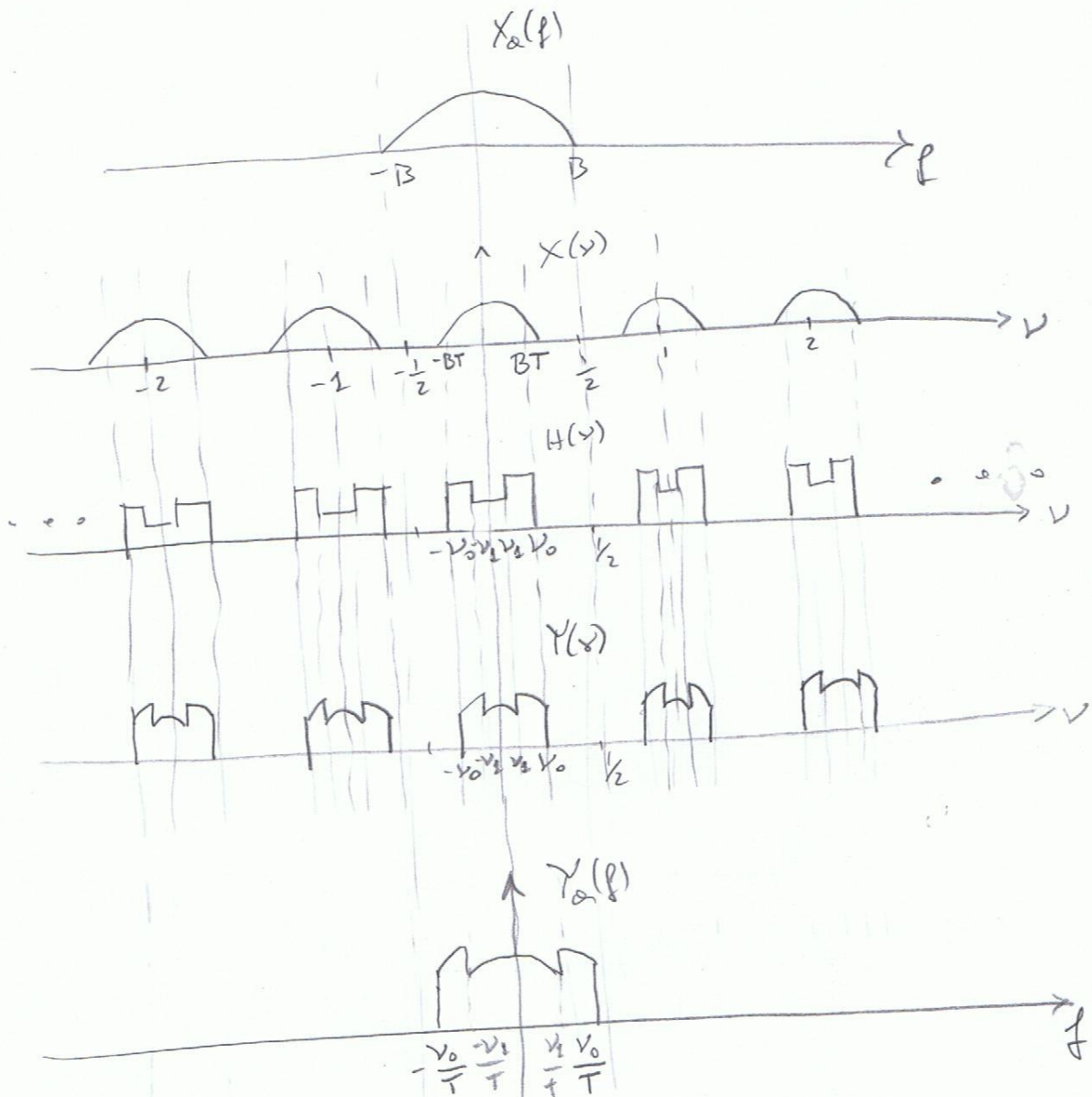
$$Y_n(f) = H(fT) X_n(f) \quad -\frac{1}{2T} < f < \frac{1}{2T}$$

ovvero

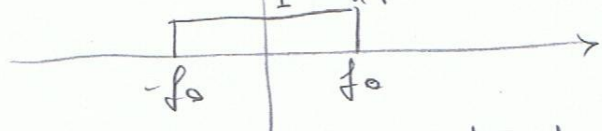
$$H_n(f) = H(fT) \quad -\frac{1}{2T} < f < \frac{1}{2T}$$

La risposta analogia equivalente è data da  $H(v)$ ,  $-\frac{1}{2} < v < \frac{1}{2}$ , riportata in  $f$ .

La seguente figura mostra in rosso la  
grazie l'andamento dei veri spettri per un  
filto numerico  $H(v)$  che elime un p. delle  
bande di  $X_n(f)$  (per  $f \in [\bar{V}_0, \bar{B}T]$ ), ne enfatizza  
una parte (per  $|f| \in [\bar{V}, V_0]$ ) e ne trasferisce  
insieme un'altra (per  $|f| \in [0, V_1]$ ).

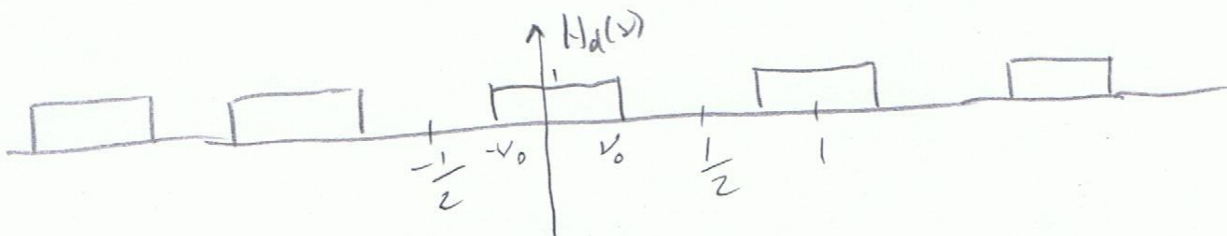


Le scuole accademiche preferiscono una semplice tecnica di progetto. Dato uno scivolo "desiderato" analogico  $H_d(f)$ , ad esempio un pass-basso,



sulle frequenze di cuto-off  $\frac{1}{T}$ , si ripete  $H_d(f)$  in frequenze modificate  $\nu$ . (è ovvio ovviamente che  $f_0 T < \frac{1}{2}$   
ovvero  $\frac{1}{T} > 2f_0$ )

$$H_d(\nu) = H_d\left(\frac{\nu}{T}\right) \quad V_0 = f_0 T$$



Pertanto il filtro desiderato ha risposta impulsiva FIR

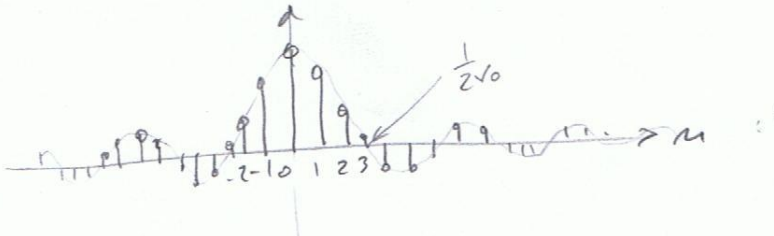
$$h_d[n] = \int_{-\gamma_0}^{\gamma_0} H_d(\nu) e^{j2\pi\nu n} d\nu \quad -\infty < n < +\infty$$

ESEMPIO Filtro pass-banda ideale con freq. di taglio  $\omega_0$ :

$$\omega_0 = f_0 T$$

$$h_d[n] = \int_{-\gamma_0}^{\gamma_0} e^{+j2\pi\nu n} d\nu = \left[ \frac{e^{j2\pi\nu n}}{j2\pi n} \right]_{-\gamma_0}^{\gamma_0} = \frac{e^{j2\pi\gamma_0 n} - e^{-j2\pi\gamma_0 n}}{j2\pi n} = \frac{\sin 2\pi\gamma_0 n}{\pi n \gamma_0^2}$$

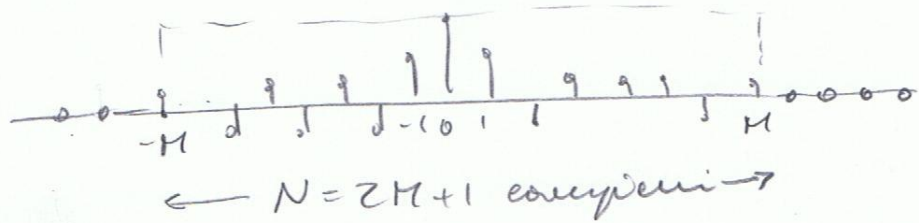
$$h_d[n] = 2\gamma_0 \sin 2\gamma_0 n$$



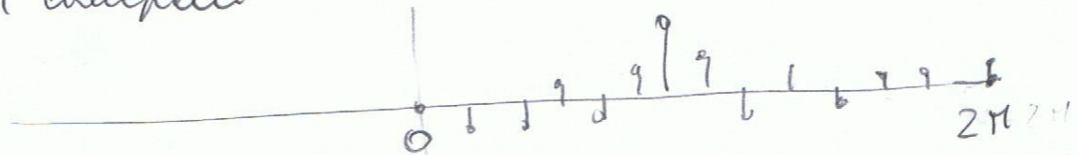
Ovviamente (anche dall'esempio)  $h_d[n]$  non è  
fisicamente realizzabile perché: (a) la estensione infinita;  
(b) non è causale.

Pertanto la prima operazione per ottenere un filtro  
realizzabile è il truncamento ad un lungo  
filtro.

↳ finitura



La seconda è una traslazione temporale verso destra  
di  $M$  campioni



Il filtro risultante è pertanto

FIR5

$$h[n] = h_d[n-M] w[n-M] \quad n=0, \dots, N-1$$

dove  $w[n] = \begin{cases} 1 & -M \leq n \leq M \\ 0 & \text{altrove} \end{cases}$  (finestra rettangolare)

Dalle note relazioni sulle DTFT, lo risulta ormai che  $H(v)$  diventa

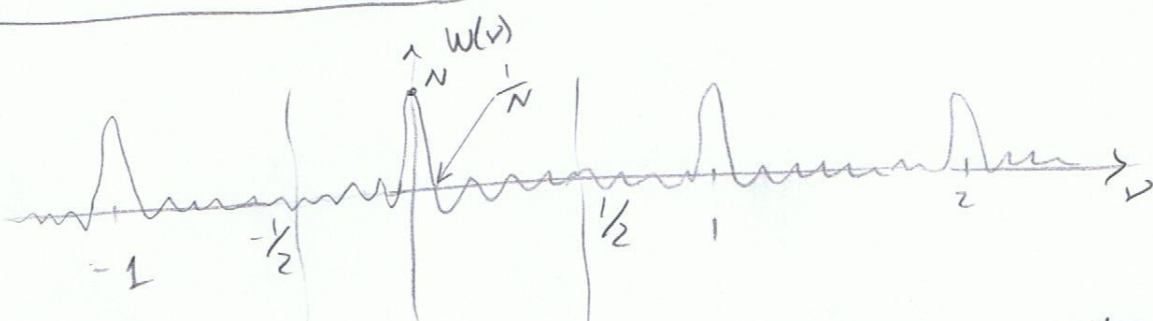
$$H(v) = e^{-j2\pi v M} (H_d(v) * W(v)) = e^{-j2\pi v M} \int_{-\frac{T}{2}}^{\frac{T}{2}} H_d(\eta) W(v-\eta) d\eta$$

dove  $W(v)$  è la DTFT della nostra finestra.

Più in particolare per la finestra rettangolare

$$\begin{aligned} W(v) &= \sum_{m=-M}^{M} e^{-j2\pi v m} = \sum_{\substack{m=0 \\ m=M}}^{2M} e^{-j2\pi v(m-m)} = e^{j2\pi v M} \sum_{m=0}^{N-1} e^{-j2\pi v m} \\ &= e^{j2\pi v M} \frac{1 - e^{-j2\pi v N}}{1 - e^{-j2\pi v}} = \frac{e^{j2\pi v M} - j\pi v N}{e^{-j\pi v}} \frac{(e^{j\pi v N} - e^{-j\pi v N})}{(e^{j\pi v} - e^{-j\pi v})} \frac{e^{j}}{e^{j}} \end{aligned}$$

$$W(v) = \frac{\sin \pi N v}{\sin \pi v} \quad (\text{funzione di Dirichlet})$$

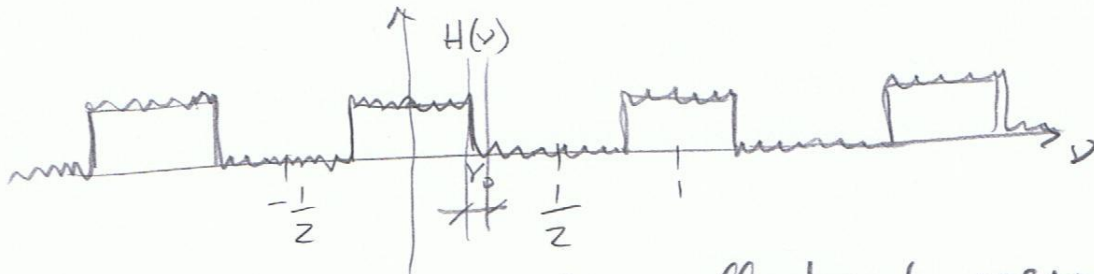


Maggiora è lo larghezza delle finestre  $N$ , più stretto è lo spettro  $W(v)$ .

L'effetto dell'eccezione e delle bordure, non avendo una "dispersione" delle caratteristiche isolate  $H_d(v)$  è l'effetto di una fase lineare  $-2\pi M v$  (non molto importante).

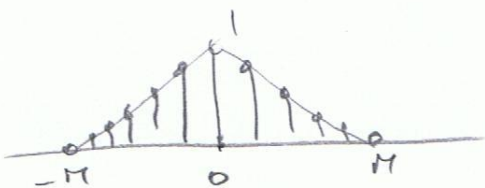
Nell'esempio del filtro passa-basso otteniamo

FIR6



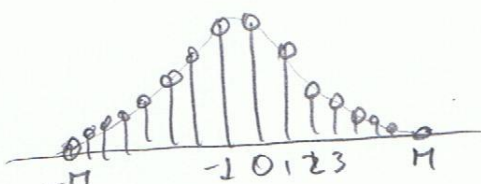
un "ciglio" nelle bande passate e nelle bande oscure e una banda di transizione non ideale. La banda di transizione sarà tanto più stretta quanto più stretto è il lobo principale di  $W(v)$ . L'effetto si infatti l'effetto diffuso tipico del truncamento della serie di Fourier. La larghezza delle bande di transizione è circa  $\frac{2}{N}$ .

Un diverso compromesso tra banda di transizione e attenuazione può essere ottenuto con diverse finestre. Tipiche sono le finestre zero.



Finestra triangolare  
(o chi Bartlett.)

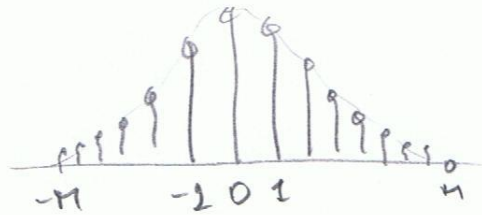
$$W[m] = \begin{cases} \frac{m+1-M}{M} & -M \leq m \leq 0 \\ -\frac{m}{M} + 1 & 0 \leq m \leq M \\ 0 & \text{else.} \end{cases}$$



Finestra di Hamming  
HANNING

$$W[m] = \begin{cases} \frac{1}{2} \left( 1 - \cos \frac{2\pi(m+1)}{2M} \right) & -M \leq m \leq M \\ 0 & \text{oltre.} \end{cases}$$

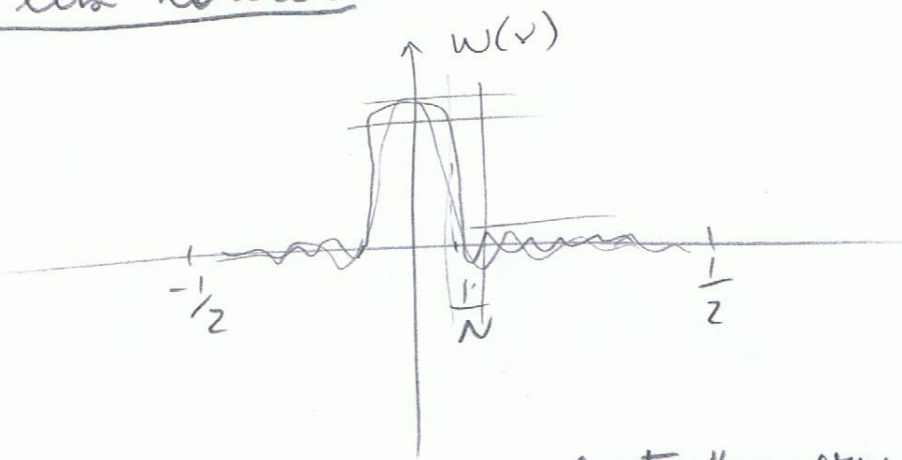
Finestre di Hamming  
HAMMING.



$$W(n) = \begin{cases} 0.54 - 0.46 \cos \frac{2\pi(n+M)}{2M} & -M \leq n \leq M \\ 0 & \text{altrimenti.} \end{cases}$$

⋮  
⋮  
⋮

Le varie finestre realizzano un diverso compromesso fra larghezza del lobo principale e attenuazione ai lobi laterali.

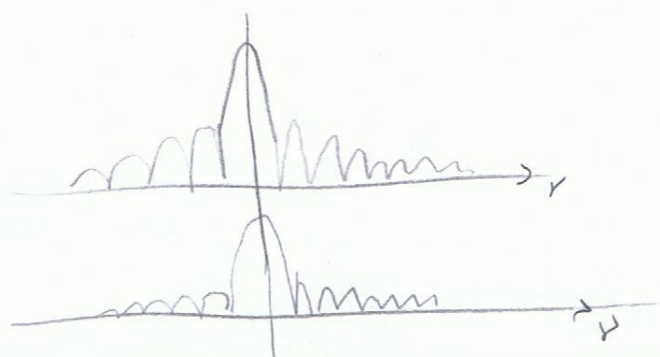


Tipicamente un lobo principale stretto corrisponde a lobi laterali alti (poco attenuati) e viceversa.

Vedi letteratura per grafici in dB. Grafici in

$$\text{dB}, \text{ovvero } C(v) = 20 \lg \left| \frac{W(v)}{W(0)} \right|, \text{ mostrano meglio i}$$

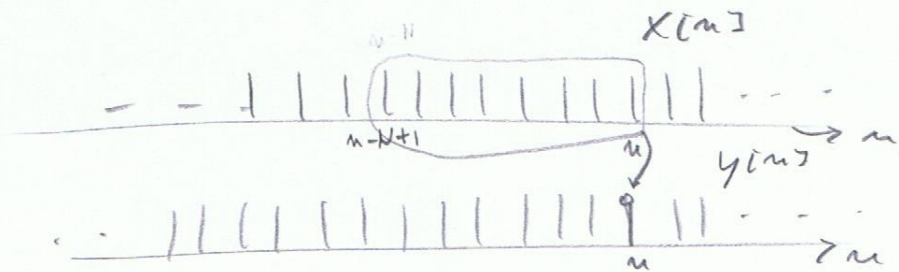
effetti sui lobi laterali



L'uscita del filtro è quindi il risultato del FIR

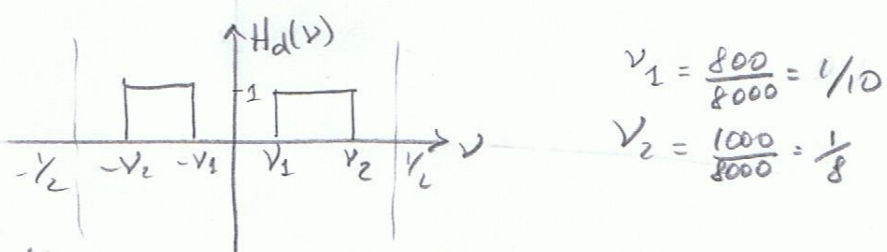
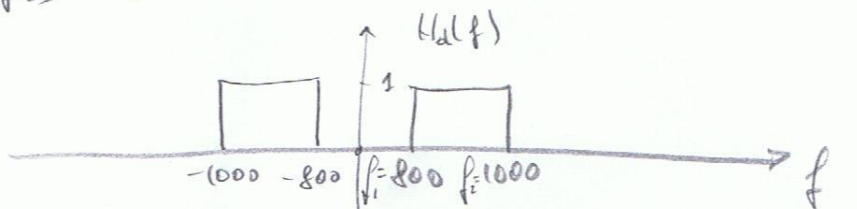
FIR &

$$y[n] = \sum_{k=0}^{N-1} h[k]x[n-k]$$



Ad oggi intendendo tempo si vuole dire eseguire  
lineare di  $N$  operazioni. Esistono algoritmi efficienti  
per il calcolo dell'uscita quando  $N$  è grande, ma  
ne parleremo in seguito.

ESEMPIO Progettare un filtro passa-banda per un  
segnale vocale composto a 8KHz, nelle bandole  
 $(f_1, f_2) = [800, 1000]$  Hz rispondendo alle frequenze delle finestre.



$$\nu_1 = \frac{800}{8000} = 1/10$$

$$\nu_2 = \frac{1000}{8000} = 1/8$$

$$h_d[n] = \int_{-\nu_2}^{\nu_2} H_d(v) e^{j 2\pi \nu_m n} dv = \int_{-\nu_2}^{\nu_2} e^{j 2\pi \nu_m n} dv - \int_{-\nu_2}^{\nu_2} e^{-j 2\pi \nu_m n} dv \\ = \frac{e^{j 2\pi \nu_2 n}}{j 2\pi n} \Big|_{-\nu_2}^{\nu_2} - \frac{e^{-j 2\pi \nu_2 n}}{j 2\pi n} \Big|_{-\nu_2}^{\nu_2} = \frac{e^{j 2\pi \nu_2 n} - e^{-j 2\pi \nu_2 n}}{j 2\pi n} = \frac{2 \sin 2\pi \nu_2 n}{j 2\pi n}$$

$$h_d[n] = \frac{\sin 2\pi \nu_2 (n-M)}{\pi n} - \frac{\sin 2\pi \nu_1 (n-M)}{\pi n}, \quad n=0, \dots, 2M$$

$$h[n] = \frac{\sin 2\pi \nu_2 (n-M) - \sin 2\pi \nu_1 (n-M)}{\pi (n-M)}, \quad n=0, \dots, 2M$$

$$= 2V_2 \frac{\sin 2\pi V_2(n-M)}{2V_2 \pi (n-M)} - 2V_1 \frac{\sin 2\pi V_1(n-M)}{2V_1 \pi (n-M)}$$

FIRs

$$= 2V_2 \sin 2V_2(n-M) - 2V_1 \sin 2V_1(n-M)$$

%design of an FIR band-pass filter with the window technique

```

fc=8000; %sampling frequency
f1=800; %lower cutoff
f2=1000; %higher cutoff
nu1=f1/fc;
nu2=f2/fc;
N=201 % window length (odd number)
M=(N-1)/2;
h=[];
for n=0:N-1
    h=[h 2*nu2*sinc(2*nu2*(n-M))-2*nu1*sinc(2*nu1*(n-M))];
end
figure
stem(h) %plot impulse response
ylabel('impulse response')
xlabel('n')

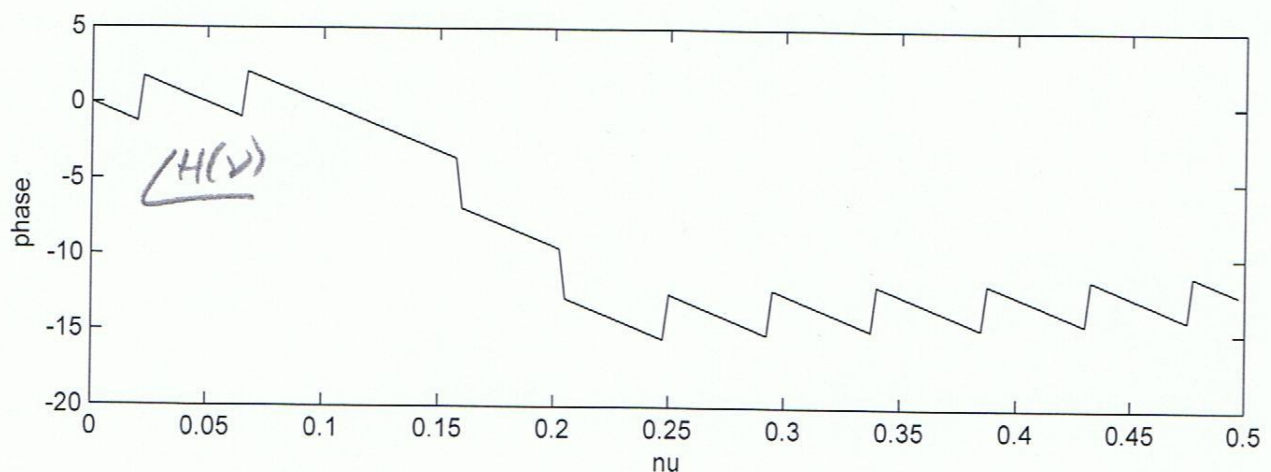
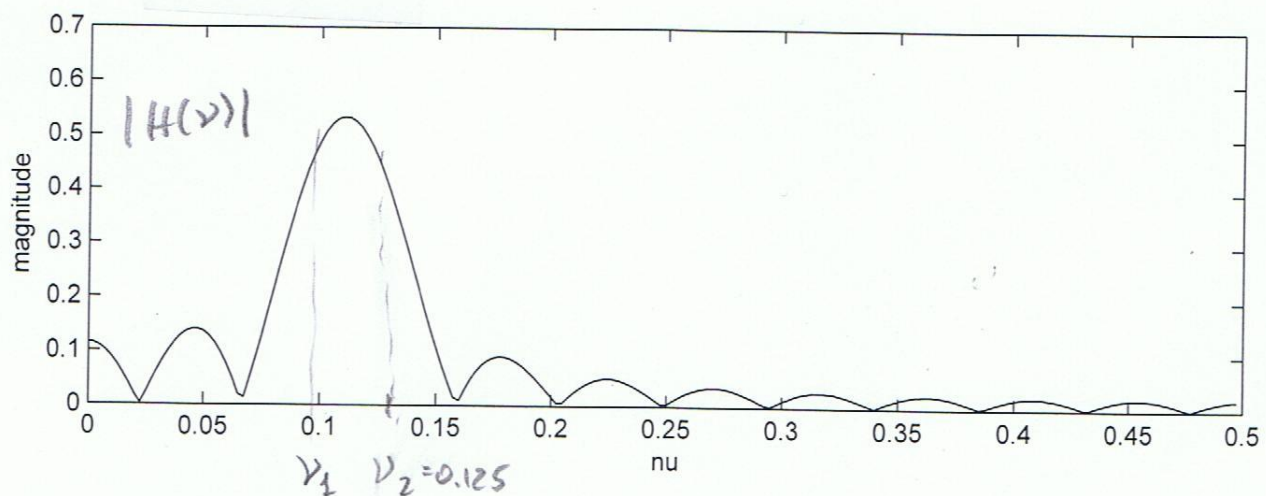
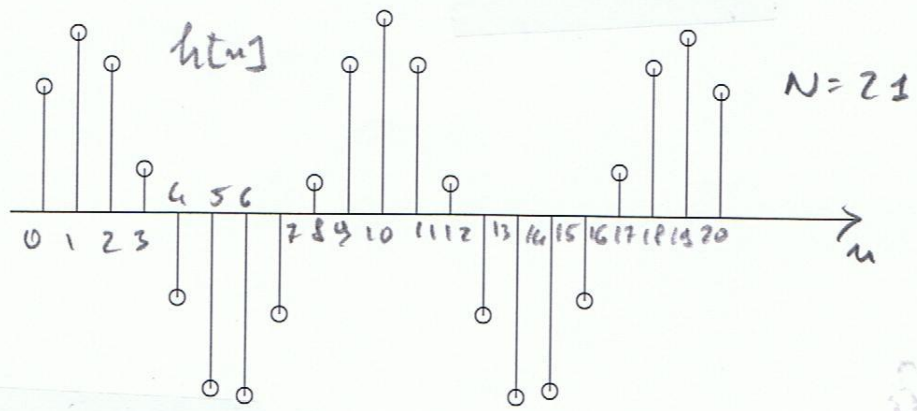
B=h;
A=[1];
[H W]=freqz(B,A,200); %get frequency response (abscissa in rad)
figure
subplot(2,1,1)
plot(W/(2*pi),abs(H)) %plot magnitude (abscissa in norm freq.)
ylabel('magnitude')
xlabel('nu')
subplot(2,1,2)
plot(W/(2*pi),phase(H)) %plot phase (abscissa in norm freq.)
ylabel('phase')
xlabel('nu')

```

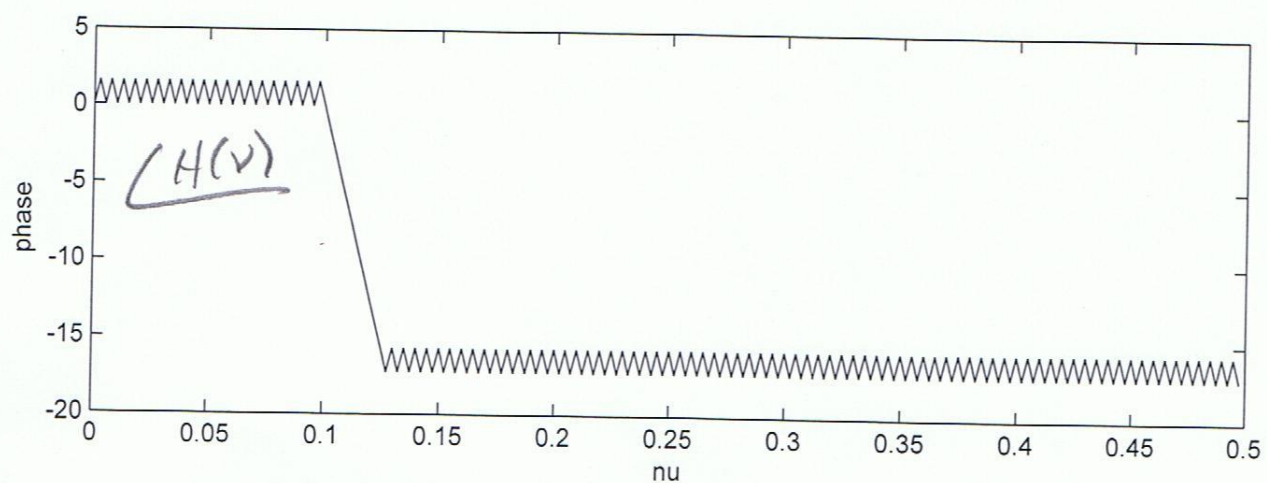
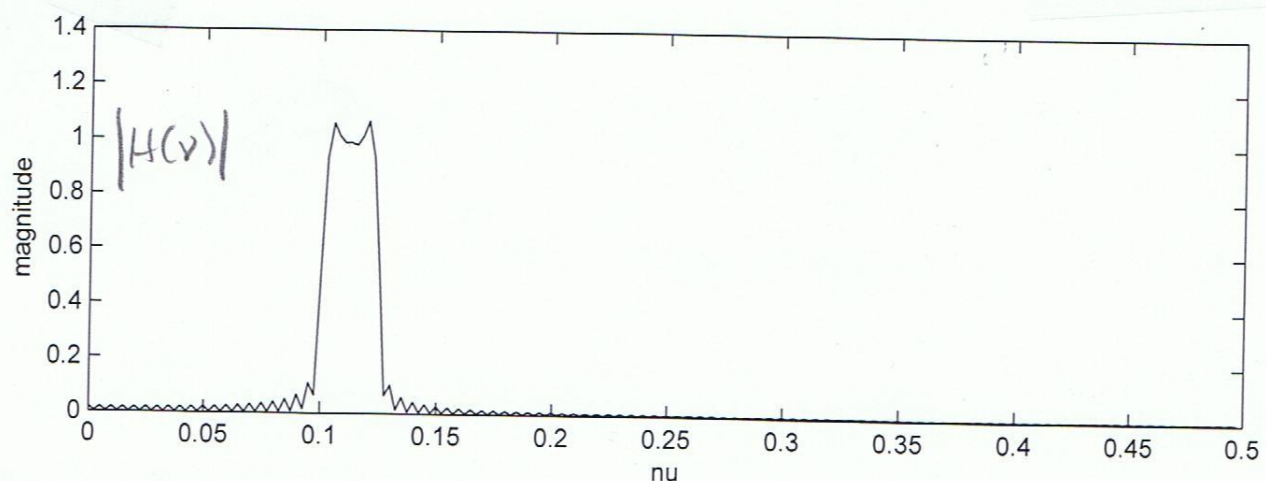
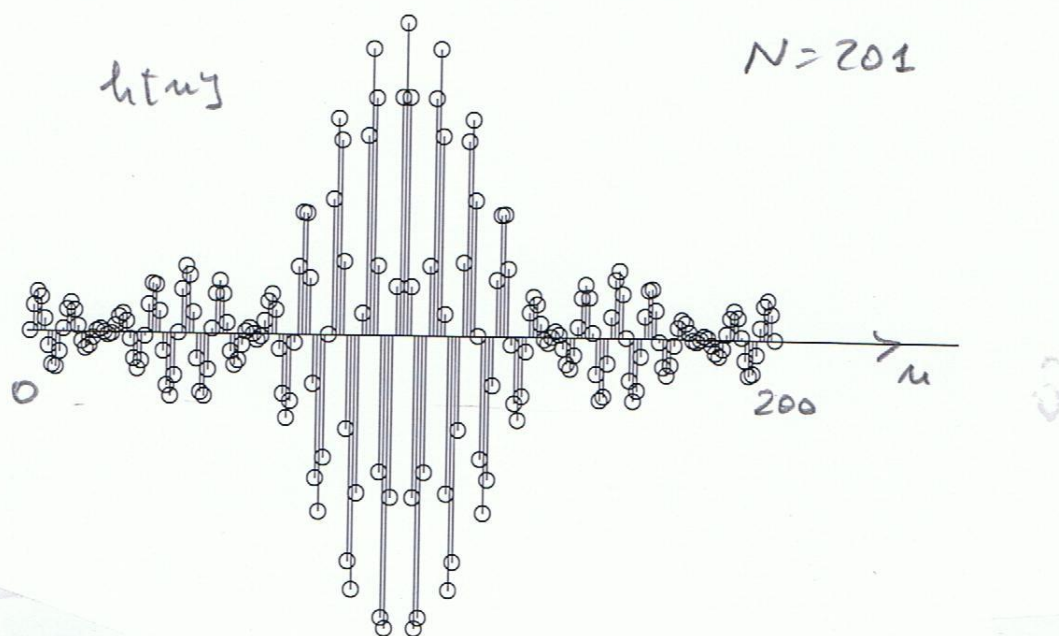
rectangle  
window

→  $h = h_s * \text{hamming}(N)$  (with Hamming window)

FlR10



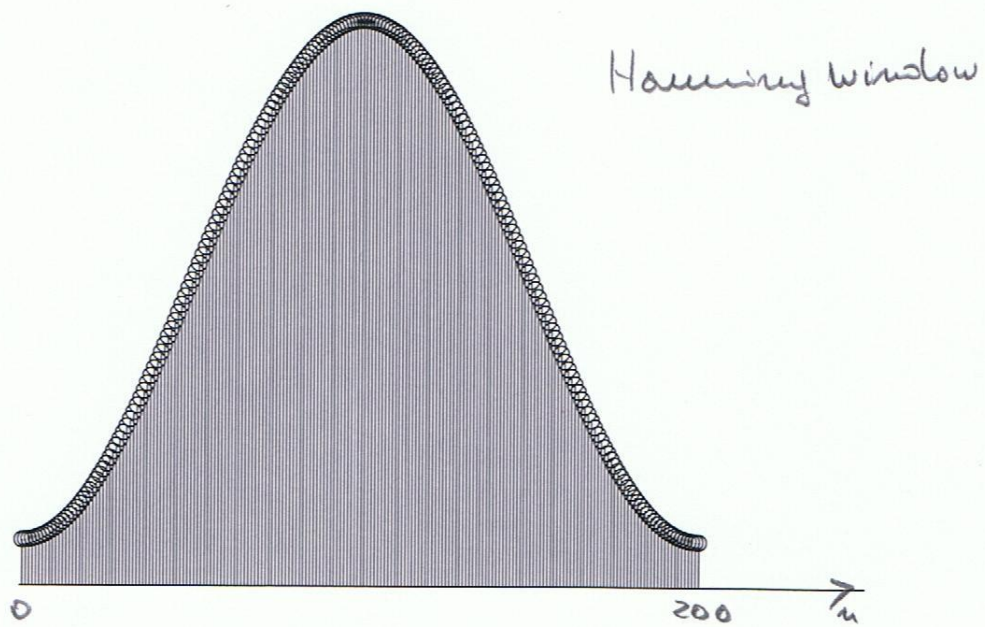
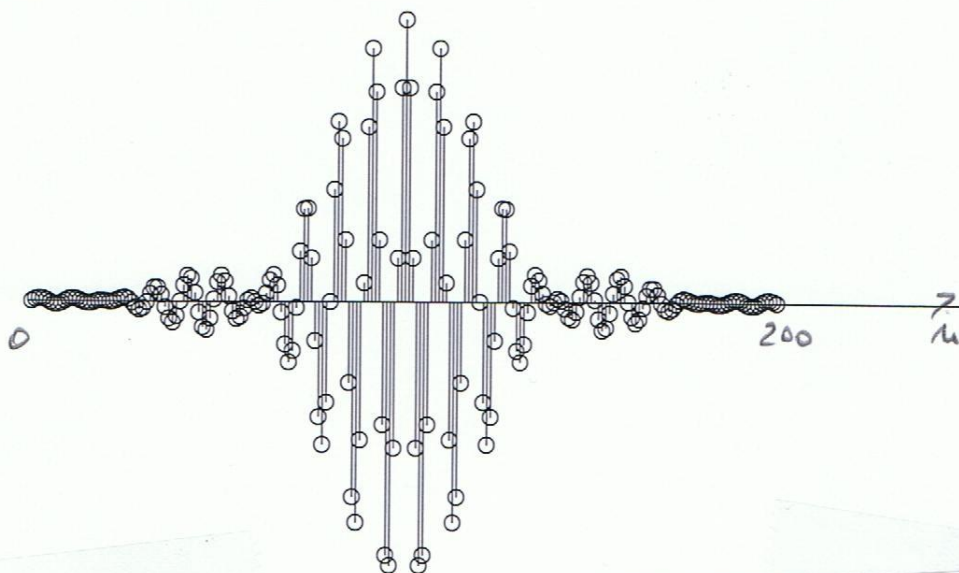
FIR.11



Si considera la risposta impulso con  
una finestra di Hamming.

$$N=201$$

$$h_w[n] = h[n]w[n]$$



FIR.13

